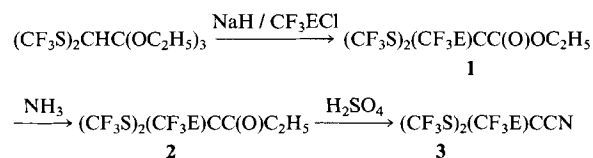
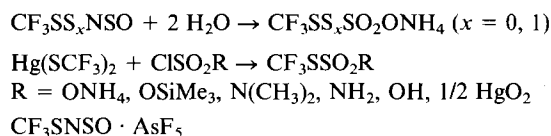


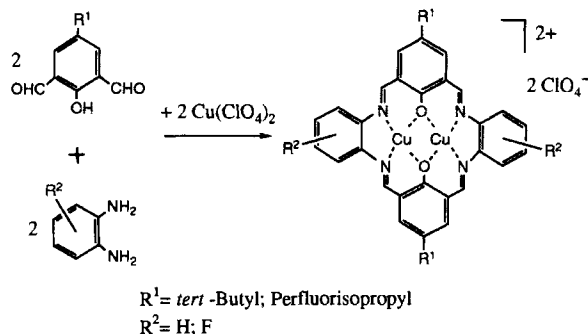
- 449 **Boese, R., Haas*, A., Lieb, M., Roeske, U.**
 Tris(perfluororganochalkogenyl)methyl-Verbindungen:
 Synthesen, Strukturen und Eigenschaften
 Tris(perfluororganochalkogenyl)methyl Compounds:
 Synthesis, Structures, and Properties



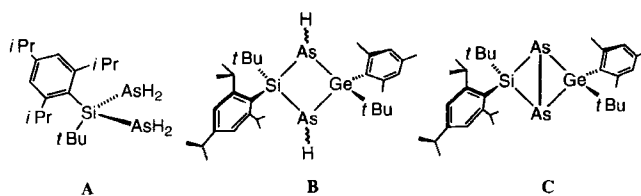
- 457 **Brosius, A., Haas*, A., Pryka, M.**
 Darstellung und Eigenschaften von *S*-(Trifluormethyl)polysulfanmonosulfonaten $\text{CF}_3\text{S}_x\text{SO}_2\text{M}$ [$x=1$, $\text{M}=\text{OH}$, NH_4O , $1/2 \text{HgO}_2$, $(\text{CH}_3)_3\text{SiO}$, $(\text{CH}_3)_2\text{N}$, NH_2 ; $x=2$, $\text{M}=\text{NH}_4\text{O}$]
 Synthesis and Properties of *S*-(Trifluoromethyl)polysulfanmonosulfonates $\text{CF}_3\text{S}_x\text{SO}_2\text{M}$ [$x=1$, $\text{M}=\text{OH}$, NH_4O , $1/2 \text{HgO}_2$, $(\text{CH}_3)_3\text{SiO}$, $(\text{CH}_3)_2\text{N}$, NH_2 ; $x=2$, $\text{M}=\text{NH}_4\text{O}$]



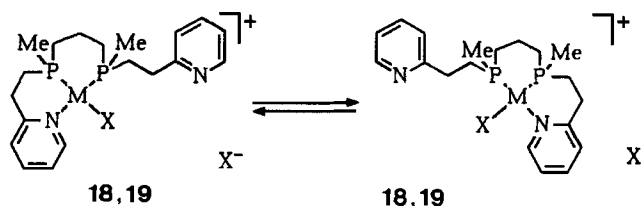
- 465 **Brychcy, K., Dräger, K., Jens, K.-J., Tilset, M., Behrens*, U.**
 Komplexe mit makrocyclischen Liganden, I. – Zweikernige Kupfer(II)-Komplexe mit vollständig π -konjugiertem Makrocyclus vom Schiff-Basen-Typ: Synthesen, Strukturen, elektro- und magnetochemische Eigenschaften
 Complexes with Macrocyclic Ligands, I. – Dinuclear Copper(II) Complexes with a Totally π -Conjugated Macrocycle of Schiff Base Type: Syntheses, Structures, Electro-, and Magnetochemical Properties



- 477 **Drieß*, M., Pritzkow, H.**
 (2,4,6-*i*Pr₃C₆H₂)(*t*Bu)Si(AsH₂)₂: Das erste Diarsanylsilan und seine Umwandlung in ein 1,3-Diarsa-2-sila-4-germacyclobutan und in ein 1,3-Diarsa-2-sila-4-germabicyclo[1.1.0]butan-Derivat
 (2,4,6-*i*Pr₃C₆H₂)(*t*Bu)Si(AsH₂)₂: The First Diarsanyl silane and Its Transformation into a 1,3-Diarsa-2-sila-4-germacyclobutane and a 1,3-Diarsa-2-sila-4-germabicyclo[1.1.0]butane Derivate

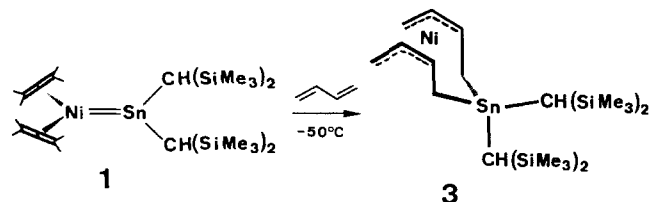


- 481 **Heßler, A., Fischer, J., Kucken, S., Stelzer*, O.**
 Synthese und Koordinationschemie hemilabiler P,N-Hybridliganden mit terminalen 2-Pyridyl-Donorgruppen
 Synthesis and Coordination Chemistry of Hemilabile P,N-Hybride Ligands with Terminal 2-Pyridyl Donor Groups



Pluta, C., Pörschke*, K.-R., Gabor, B., Mynott, R.

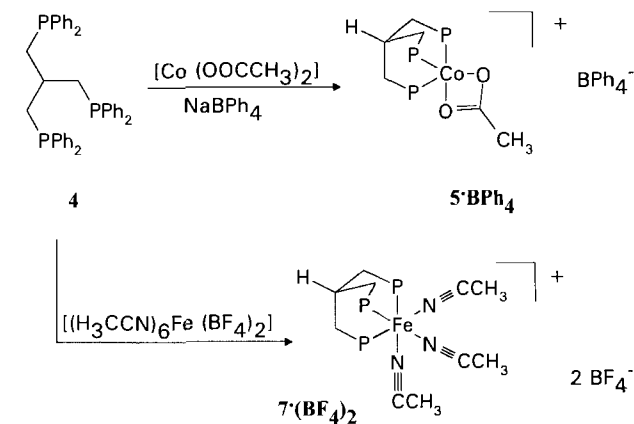
{Bis[bis(trimethylsilyl)methyl]stannio(II)}bis(η^2 -ethen)nickel(0) und verwandte Verbindungen, Teil II
{Bis[bis(trimethylsilyl)methyl]stannio(II)}bis(η^2 -ethene)nickel(0) and Related Compounds, Part II



Janssen, B. C., Asam, A., Huttner*, G., Sernau, V., Zsolnai, L.

Funktionalisierte Tripod-Liganden: Synthese und Koordination von Tris[(diphenylphosphanyl)methyl]methan

Functionalized Tripod Ligands: Synthesis and Coordination of 1,1,1-Tris[(diphenylphosphanyl)methyl]methane

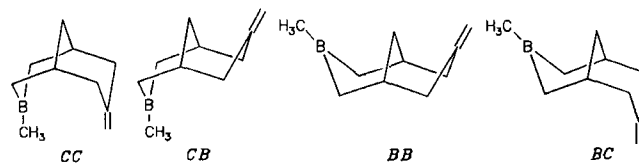


B

Teil B: Organische Chemie / Part B: Organic Chemistry

Rademacher*, P., Wiesmann, R. F.

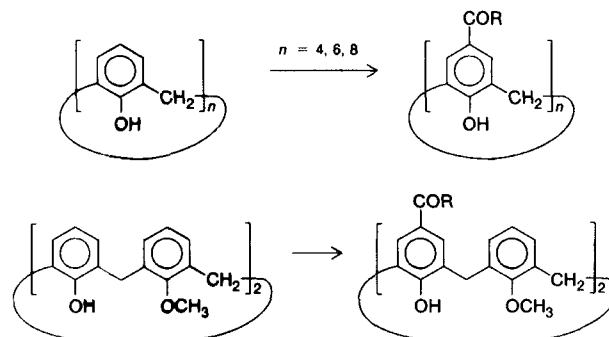
Transanulare Wechselwirkungen in difunktionellen mittleren Ringen, 4. – Spektroskopische und theoretische Untersuchungen an bicyclischen Boraalkenen
Transannular Interactions in Difunctional Medium Rings, 4. – Spectroscopic and Theoretical Investigations on Bicyclic Boraalkenes



Huang*, Z.-T., Wang, G.-Q.

Studie an Calixarenen, V. – Friedel-Crafts-Reaktion mit Calixarenen

Study of Calixarenes, V. – Friedel-Crafts Reaction of Calixarenes

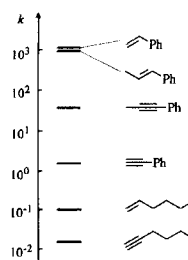


525

Mayr*, H., Gonzalez, J. L., Lüdtke, K.

Vergleich der Nucleophilie von Alkinen und Alkenen.
Quantitative Bestimmung der Nucleophilie von Alkinen gegenüber Carbenium-Ionen

Comparison of the Nucleophilicities of Alkynes and Alkenes. Quantitative Determination of the Nucleophilicities of Alkynes toward Carbenium Ions

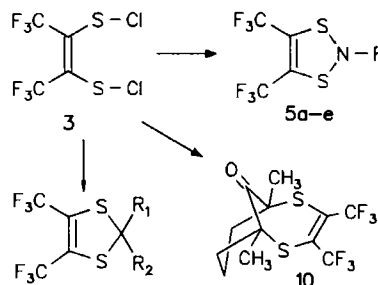
Second-Order-Rate-Constants toward (*p*-MeC₆H₄)₂CH⁺

533

Reimann-Andersen, S., Pritzkow, H., Sundermeyer*, W.

Halogen-Kohlenstoff-Schwefel-Verbindungen: Zur Chemie von 1,1,1,4,4,4-Hexafluor-2-buten-2,3-bissulfenylchlorid

Halogen-Carbon-Sulfur Compounds: Syntheses with 1,1,1,4,4,4-Hexafluoro-2-butene-2,3-bissulfenyl Chloride

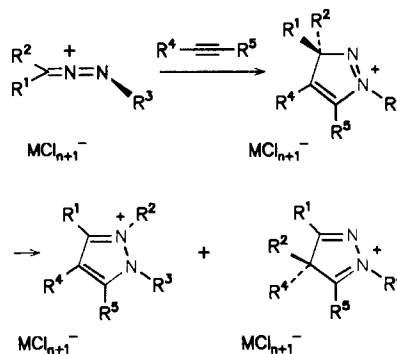


541

Wang, Q., Al-Talib, M., Jochims*, J. C.

Über die Reaktion von 1-Aza-2-azoniaallen-Salzen mit Acetylenen

On the Reaction of 1-Aza-2-azoniaallene Salts with Acetylenes

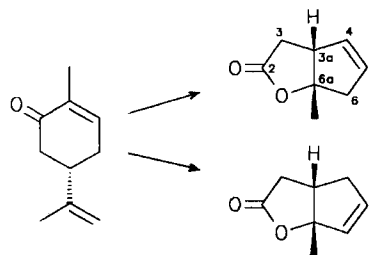


549

Weinges*, K., Reichert, H., Braun, R.

Radikalische Cyclisierung von Dienen, VIII. – Über die regioselektive Herstellung von ungesättigten Cyclopenta[b]furan-2-onen aus (*S*)-(+)-Carvon – Bausteine zur Synthese von enantiomerenreinen Triquinanen

Radical-Type Cyclization of Dienes, VIII. – On the Regioselective Synthesis of Unsaturated Cyclopenta[b]furan-2-ones from (*S*)-(+)-Carvone – Building Blocks for the Synthesis of Enantiomerically Pure Triquinanes

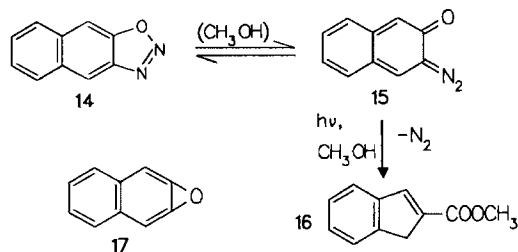


551

Blocher, A., Zeller*, K.-P.

Photolyse von Naphth[2,3-*d*]-1,2,3-oxadiazol – Ein Beitrag zum Oxirene-Problem

Photolysis of Naphth[2,3-*d*]-1,2,3-oxadiazole – A Contribution to the Oxirene Problem

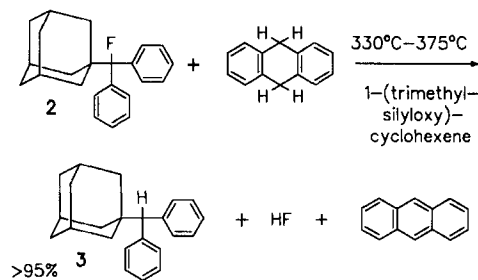


557

Schaffer, F., Beckhaus, H.-D., Rieger, H.-J., Rüchardt*, C.

Bimolekulare Bildung von Radikalen durch H-Transfer, 6. – Unkatalysierte Transfer-Hydrierung eines Benzhydrylfluorids durch 9,10-Dihydroanthracen

Bimolecular Formation of Radicals by H-Transfer, 6. – Uncatalyzed Transfer Hydrogenation of a Benzhydryl Fluoride by 9,10-Dihydroanthracene

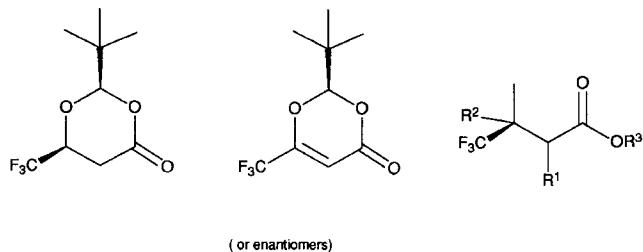


565

Gautschi, M., Schweizer, W. B., Seebach*, D.

In 2- und 3-Stellung verzweigte, enantiomerenreine 4,4,4-Trifluor-3-hydroxy-buttersäure-Derivate aus 6-Trifluormethyl-1,3-dioxan- und -dioxin-4-onen

Preparation of Enantiomerically Pure 4,4,4-Trifluoro-3-hydroxy-butanoic Acid Derivatives, Branched in the 2- or 3-Position, from 6-Trifluoromethyl-1,3-dioxan- and -dioxin-4-ones



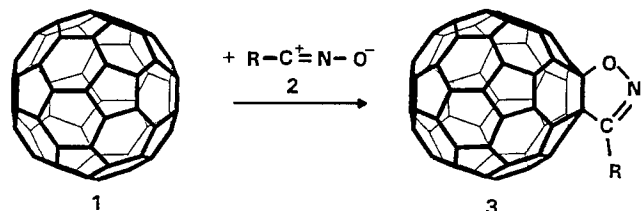
Notiz / Note

581

Irgartinger*, H., Köhler, C.-M., Huber-Patz, U., Krätschmer, W.

Funktionalisierung von C₆₀ mit Nitriloxiden zu 4,5-Dihydroisoxazolen und deren Strukturbestimmung

Functionalisation of C₆₀ with Nitrile Oxides to 4,5-Dihydroisoxazoles and their Structure Determination



Berichtigung / Correction

585

Hoffmann, R., Brückner*, R.

Ein neuartiger Einstieg in Wittig-Umlagerungen – Eine stereoselektive [1,2]-Wittig-Umlagerung mit Konfigurationsumkehr am Carbanion-Zentrum

A Novel Entry into Wittig Rearrangements – A Stereoselective [1,2]-Wittig Rearrangement with Inversion of Configuration at the Carbanion Center